

## 頂部を鋼棒または鋼線で連結されたパイルスループの解析

信州大学 正会員 吉沢孝和  
信州大学 学生員 ○高村 裕

## 1. 研究の目的

本研究は長さの異なる数本の高張力鋼線群によって頂部を相互に連結して構成されるパイルスループを地すべり地帯に打ちこみ、高張力鋼線群によってパイルスループに生ずる非線型的な変形挙動を利用して地すべりや山崩れ等の制御を図ろうとするのが目的である。本文ではこのような系の基礎研究としてパイルスループの単純モデルの解析を行なっている。さらにこの解法において高張力鋼線の自重による張力を考慮し、またパイルの曲げ剛性を鉄塔の曲げ剛性におきかえれば、実際の送電用鉄塔系の解析にも応用できるものである。

## 2. 解析上の仮定

- 1) パイルおよび高張力鋼線はその全長にわたって一様断面を有する。
- 2) 高張力鋼線の自重は無視する。従って高張力鋼線がたるんでいる場合には張力は生じないものとし、高張力鋼線が初期の長さより引き伸ばされたときにのみ張力が作用する。
- 3) パイルおよび高張力鋼線の変形は微小変形理論に従うものとする。

## 3. 基本解析式の誘導

パイルおよび高張力鋼線の解析において用いられる基本式は次式で表わされる：

$$\begin{bmatrix} U \\ F \\ W \\ \alpha \\ M \\ S \end{bmatrix} = \text{diag} \left[ \frac{L}{EA} \ 1 \ \frac{L^3}{6EI} \ \frac{L^2}{6EI} - \frac{L}{3} \ -1 \right] \begin{bmatrix} 1 & P & 0 & 0 & 0 & 0 \\ 0 & 1 & 0 & 0 & 0 & 0 \\ 0 & 0 & 1 & P & P^2 & P^3 \\ 0 & 0 & 0 & 1 & 2P & 3P \\ 0 & 0 & 0 & 0 & 1 & P \\ 0 & 0 & 0 & 0 & 0 & 1 \end{bmatrix} \begin{bmatrix} [N] + \langle [K] \rangle \end{bmatrix} \quad (1)$$

$U$  = 軸方向変位     $F$  = 軸力     $W$  = たわみ     $\alpha$  = たわみ角     $M$  = 曲げモーメント  
 $S$  = せん断力     $P$  =  $x/L$  = 無次元座標     $[N]$  = 固有マトリクス     $\langle [K] \rangle$  = 荷重マトリクス

$$\begin{bmatrix} v \\ T \end{bmatrix} = \text{diag} \left[ \frac{\alpha_i L_{or}}{E_i A_i} \ 1 \right] \begin{bmatrix} 1 & k \\ 0 & 1 \end{bmatrix} \quad (2)$$

$v$  = 高張力鋼線のひび     $T$  = 高張力鋼線の張力     $k = y/L_{or}$  = 無次元座標

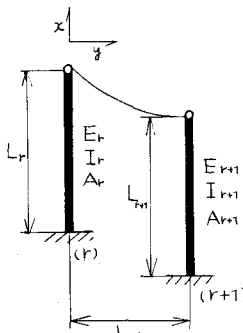


図1 系の諸元

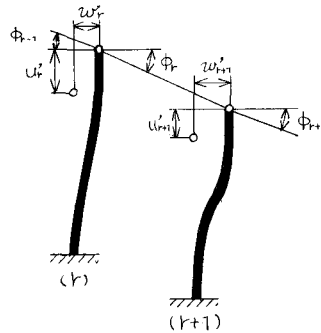


図2 变位ベクトル

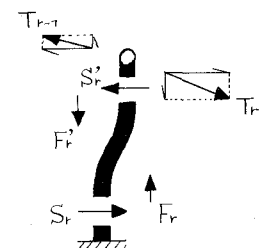


図3 カベクトル

境界条件はパイルの上、下端においてそれぞれ：

$$\begin{bmatrix} u \\ w \\ \phi \end{bmatrix}_{p=0} = 0 \quad (3)$$

$$\begin{bmatrix} F \\ M \\ S \end{bmatrix}_{p=r} + \begin{bmatrix} \sin\phi \\ 0 \\ -\cos\phi \end{bmatrix} \sum T_{ri} - \begin{bmatrix} \sin\phi \\ 0 \\ -\cos\phi \end{bmatrix} \sum T_{r+1,i} = 0 \quad (4)$$

固有マトリクスの要素を{a b c d e f}とすると式(3)より  $a=c=d=0$  となる オリスパンの鋼線群の(i)番目の要素線材の引張力はパイル頂部の変位ベクトルを用いると次式のようになる：

$$\begin{aligned} T_{ri} &= (E_i A_i / \alpha_i L_{or})_r \cdot dL_{ri} \\ &= (E_i A_i / \alpha_i L_{or})_r \cdot \{L - s_n \cos\phi_r [u] - L - s_n \cos\phi_r [u] - (\alpha_{ri} - 1)L_{or}\} \\ &= L - s_n \cos\phi_r \left[ \begin{bmatrix} s_{ri} & 0 \\ 0 & p_{ri} \end{bmatrix} \begin{bmatrix} 0 \\ -2f \end{bmatrix}_{r+1} - \begin{bmatrix} s_{ri} & 0 \\ 0 & p_{ri} \end{bmatrix} \begin{bmatrix} 0 \\ -2f \end{bmatrix}_r \right] \\ &+ L - s_n \cos\phi_r \left[ \begin{bmatrix} s_{ri} & 0 \\ 0 & p_{ri} \end{bmatrix} \begin{bmatrix} 1 & 1 & 0 & 0 & 0 & 0 \end{bmatrix}_{r+1} - \begin{bmatrix} s_{ri} & 0 \\ 0 & p_{ri} \end{bmatrix} \begin{bmatrix} 1 & 1 & 0 & 0 & 0 & 0 \end{bmatrix}_r \right] \end{aligned} \quad (5)$$

ここに  $S_{ri} = (E_i A_i / \alpha_i L_{or})_r \cdot (L / EA)_r$ ,  $P_{ri} = (E_i A_i / \alpha_i L_{or})_r \cdot (L^3 / 6EI)_r$   
 $s_{ri} = (E_i A_i / \alpha_i L_{or})_r \cdot (L / EA)_{r+1}$ ,  $p_{ri}' = (E_i A_i / \alpha_i L_{or})_r \cdot (L^3 / 6EI)_{r+1}$   
 $\theta_{ri} = (EA \cdot (\alpha_{ri} - 1) / \alpha_i)_r$ ,  $s_{nr} = \sin\phi_r$ ,  $c_{sr} = \cos\phi_r$ ,

r番目のパイル頂部の軸力とせん断力を{F S}\_rとして 式(5)の{b f}を表わせば：

$$\begin{bmatrix} b \\ f \end{bmatrix}_r = \begin{bmatrix} F \\ -S \end{bmatrix}_r - \begin{bmatrix} 0 & 1 & 0 & 0 & 0 & 0 \\ 0 & 0 & 0 & 0 & 0 & 1 \end{bmatrix} \langle K \rangle_r \quad (6)$$

式(5)に式(6)を代入して整理し その結果を式(4)に代入すると次式のような関係を得る：

$$\begin{aligned}
& - \left[ \begin{matrix} S_n^2 & -CS \cdot SN \\ -CS \cdot SN & CS^2 \end{matrix} \right] \sum_{r=1} \left[ \begin{matrix} S_r & 0 \\ 0 & 2P_r \end{matrix} \right] \left[ \begin{matrix} F_r \\ S_r \end{matrix} \right] - \left[ \begin{matrix} S_n^2 & -CS \cdot SN \\ -CS \cdot SN & CS^2 \end{matrix} \right] \sum_{r=1} \left[ \begin{matrix} S_r & 0 \\ 0 & 2P_r \end{matrix} \right] \left[ \begin{matrix} F_r \\ S_r \end{matrix} \right] \\
& + \left[ \begin{matrix} 1 & 0 \\ 0 & 1 \end{matrix} \right] + \left[ \begin{matrix} S_n^2 & -CS \cdot SN \\ -CS \cdot SN & CS^2 \end{matrix} \right] \sum_{r=1} \left[ \begin{matrix} S_r & 0 \\ 0 & 2P_r \end{matrix} \right] + \left[ \begin{matrix} S_n^2 & -CS \cdot SN \\ -CS \cdot SN & CS^2 \end{matrix} \right] \sum_{r=1} \left[ \begin{matrix} S_r & 0 \\ 0 & 2P_r \end{matrix} \right] \left[ \begin{matrix} F_r \\ S_r \end{matrix} \right] \\
& - \left[ \begin{matrix} S_n^2 & -CS \cdot SN \\ -CS \cdot SN & CS^2 \end{matrix} \right] \sum_{r=1} \left[ \begin{matrix} S_r & 0 \\ 0 & P_r \end{matrix} \right] \left[ \begin{matrix} 100000 \\ 001100 \end{matrix} \right] \langle K \rangle_{r-1} - \left[ \begin{matrix} S_n^2 & -CS \cdot SN \\ -CS \cdot SN & CS^2 \end{matrix} \right] \sum_{r=1} \left[ \begin{matrix} S_r & 0 \\ 0 & P_r \end{matrix} \right] \left[ \begin{matrix} 100000 \\ 001100 \end{matrix} \right] \langle K \rangle_r \\
& + \left[ \begin{matrix} S_n^2 & -CS \cdot SN \\ -CS \cdot SN & CS^2 \end{matrix} \right] \sum_{r=1} \left[ \begin{matrix} S_r & 0 \\ 0 & P_r \end{matrix} \right] \left[ \begin{matrix} 100000 \\ 001100 \end{matrix} \right] + \left[ \begin{matrix} S_n^2 & -CS \cdot SN \\ -CS \cdot SN & CS^2 \end{matrix} \right] \sum_{r=1} \left[ \begin{matrix} S_r & 0 \\ 0 & P_r \end{matrix} \right] \left[ \begin{matrix} 100000 \\ 001100 \end{matrix} \right] \langle K \rangle_r \\
& + \left[ \begin{matrix} SN \\ -CS \end{matrix} \right] \sum_{r=1} Q_{r-1,i} - \left[ \begin{matrix} SN \\ -CS \end{matrix} \right] \sum_r Q_{ri} = 0
\end{aligned} \tag{7}$$

式(7)が求めるせん断力と軸力に関する基本解析式である。

特に  $\Phi_r = 0$  として式(7)に代入すると次式を得る：

$$\begin{aligned}
& -2 \sum P_{r-1,i} S_{r-1} + \{1 + 2 \sum P_{r,i} + 2 \sum P'_{r,i}\} S_r - 2 \sum P'_i S_{r+1} \\
& - \sum P_{r-1,i} [001100] \langle K \rangle_{r-1} - (\sum P_{r,i} + \sum P'_{r,i}) [001100] \langle K \rangle_r \\
& - \sum P_{r,i} [001100] \langle K \rangle_{r+1} - \sum Q_{r-1,i} + \sum Q_{ri} = 0
\end{aligned} \tag{8}$$

$$F_r = 0 \tag{9}$$

ここにおいて 式(8)はパイアルに軸力の作用しないときのせん断力の関係を示しており 本文ではこれを 頂部連結パイアルの三連せん断力方程式 と定義する。また 上端のたわみを  $w$  としてあらわせば式(10)のような三連たわみ式を得る。

$$\begin{aligned}
& \{(6EI/L^3)_{r-1} \cdot 2 \sum P_{r-1,i}\} w_{r-1} - (6EI/L^3)_r \{1 + 2 \sum (P'_{r-1,i} + P_{r,i})\} w_r \\
& + \{(6EI/L^3)_{r+1} \cdot 2 \sum P'_{r,i}\} w_{r+1} \\
& = \sum P_{r-1,i} [001100] - \{[001100] + \sum (P'_{r-1,i} + P_{r,i}) [001100]\} \langle K \rangle_r \\
& + \sum P_{r,i} [001100] \langle K \rangle_{r+1} + \sum Q_{r-1,i} - \sum Q_{ri}
\end{aligned} \tag{10}$$

#### 4. 計算例

図のような5連のパイアルクリークの最右端のパイアルの中央に

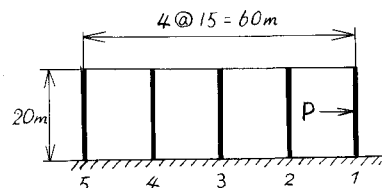
荷重を作用させた場合を考える

鋼線のE, Aをそれぞれ  $2.1 \times 10^6 \text{ kg/cm}^2, 70 \text{ cm}^2$

パイアルのE, Iをそれぞれ  $2.1 \times 10^6 \text{ kg/cm}^2, (30^4 - 28^4)/12 \text{ cm}^4$

$P_t$	$S_1$	$S_2$	$S_3$	$S_4$	$S_5$	[kg]
2	-624.5	0.3809	0.2854	0.1907	0.0950	

4	-1249	0.7618	0.5708	0.3802	0.1900	
---	-------	--------	--------	--------	--------	--



## 5. 頂部が水平で下端が弾性体中にあるパイアルスルースの解析

弾性体中におけるパイアルの状態ベクトルは次式であらわされる：

$$\begin{bmatrix} w \\ \sigma \\ M \\ S \end{bmatrix} = \text{diag} \left[ \frac{L^3}{2\beta^2 EI} \frac{L^2}{2\beta^2 EI} -\frac{L}{\beta} -1 \right] \begin{bmatrix} \psi_1 & \psi_2 & \psi_3 & \psi_4 \\ \psi_1 - \psi_2 & \psi_2 + \psi_3 & -\psi_3 - \psi_4 & \psi_3 - \psi_4 \\ -\psi_2 & \psi_1 & \psi_4 & -\psi_3 \\ -\psi_1 - \psi_2 & \psi_1 - \psi_2 & \psi_3 + \psi_4 & \psi_3 + \psi_4 \end{bmatrix} \begin{bmatrix} [N] + \langle [K] \rangle \end{bmatrix} \quad (11)$$

ここに  $\psi_1 = e^{i\theta} \cos \beta P$      $\psi_2 = e^{i\theta} \sin \beta P$   
 $\psi_3 = e^{-i\theta} \cos \beta P$      $\psi_4 = e^{-i\theta} \sin \beta P$      $\beta = \sqrt{\frac{KL^2}{4EI}}$      $K$  = 地盤係数

境界条件はパイアルの下端、上端 結合点でそれそれ：

$$\begin{bmatrix} M \\ S \end{bmatrix}_1 = 0 \quad (12) \quad -\begin{bmatrix} M \\ S \end{bmatrix}'_2 \begin{bmatrix} 0 \\ T_r - T_{r-1} \end{bmatrix} = 0 \quad (13)$$

$$\begin{bmatrix} w \\ \sigma \\ M \\ S \end{bmatrix}_1 = \begin{bmatrix} w \\ \sigma \\ M \\ S \end{bmatrix}_2 \quad (14)$$

添字の 1, 2 はそれぞれ弾性体中、地上のパイアルを示す

式(11)のマトリクスの要素を  $\{l \ l m n\}$  として 境界条件を処理すると  
次式のような形に纏する三連方程式を得ることができる：

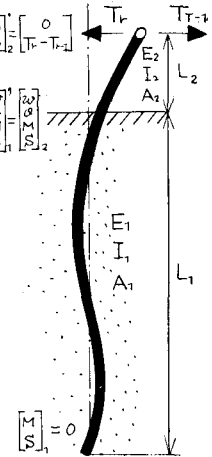


図4

$$(an)_{r-1} - (bn)_r + (cn)_{r+1} - \sum q_{ri} - \sum q_{r-1,i} = [\mathbb{W}\langle [K] \rangle]_{r-1} - [\mathbb{V}\langle [K] \rangle]_r + [\mathbb{W}\langle [K] \rangle]_{r+1} \quad (15)$$

$$a = APJ, \quad b = BPJ, \quad c = CPJ, \quad \langle K \rangle = \langle [K_2] + P \langle [K] \rangle \rangle$$

$$\mathbb{W} = A - AP\mathbb{I}, \quad \mathbb{V} = B - BP\mathbb{I}, \quad \mathbb{W} = C - CP\mathbb{I}, \quad \mathbb{J} = \{2-S/t \ 1-S/t \ 1\}$$

$$B_r = \begin{bmatrix} 0 & 0 & 0 & -1 \end{bmatrix} + \sum p_{ri} \begin{bmatrix} 1 & 1 & 1 & 1 \end{bmatrix} + \sum p'_{r-1,i} \begin{bmatrix} 1 & 1 & 1 & 1 \end{bmatrix}$$

$$A_{ri} = \sum p_{ri} \begin{bmatrix} 1 & 1 & 1 & 1 \end{bmatrix}, \quad C_{ri} = \sum p_{r+1,i} \begin{bmatrix} 1 & 1 & 1 & 1 \end{bmatrix}$$

$$P = \text{diag} \left[ \frac{6E_2I_2}{L_2^3} \frac{L_2^3}{2\beta^2 EI_1}, \frac{6E_2I_2}{L_2^3} \frac{L_2^2}{2\beta^2 EI_1}, \frac{3}{L_2} \frac{L_2}{\beta} \ 1 \right] \begin{bmatrix} \psi_1 & \psi_2 & \psi_3 & \psi_4 \\ \psi_1 - \psi_2 & \psi_2 + \psi_3 & -\psi_3 - \psi_4 & \psi_3 - \psi_4 \\ -\psi_2 & \psi_1 & \psi_4 & -\psi_3 \\ -\psi_1 - \psi_2 & \psi_1 - \psi_2 & \psi_3 + \psi_4 & \psi_3 + \psi_4 \end{bmatrix}$$

$$\mathbb{I} = - \begin{bmatrix} 0 & 0 & 1/t & 3/t \\ 0 & 0 & 0 & 0 \\ 0 & 0 & 1/t & 3/t \\ 0 & 0 & 0 & 0 \end{bmatrix}, \quad t = \begin{bmatrix} 0 & 0 & 1 & 3 \end{bmatrix} P \{ 1 & 0 & 1 & 0 \}$$

$$S = \begin{bmatrix} 0 & 0 & 1 & 3 \end{bmatrix} P \{ 2 & 1 & 0 & 3 \}$$

頂部が鋼線によって水平に連結され、下端が弾性体中にあるパイアルスルースの状態ベクトルは式(15)  
のマトリクス要素の値を導くことによって求めることができる。